

ИЗВЕСТИЯ

ТОМСКОГО ОРДENA ОКТЯБРЬСКОЙ РЕВОЛЮЦИИ И ОРДENA ТРУДОВОГО
КРАСНОГО ЗНАМЕНИ ПОЛИТЕХНИЧЕСКОГО ИНСТИТУТА им. С. М. КИРОВА

Том 249

1973

ИССЛЕДОВАНИЕ РЕЖИМОВ РАБОТЫ НАПОРНОГО УСИЛИТЕЛЯ

В. А. БРАГИН, Б. Ф. КАЛУГИН, И. Н. КОНОВАЛОВ

(Представлена научным семинаром кафедры ТЭУ)

В ряде случаев необходимо использовать для определения скоростного напора потока рабочего тела стационарные напорные усилители при их прямом и обратном обтекании потоком. Такая необходимость возникает, например, при испытании многоканальных систем, в которых при разных режимах в отдельных каналах поток может изменять направление своего движения.

Исследуемый стационарный напорный усилитель был выполнен по типу, описанному в [1]. Продольный разрез усилителя и его основные размеры показаны на рис. 1. Схема испытательного стенда изображена на рис. 2. На этих рисунках обозначено: 1—конфузор аэродинамической

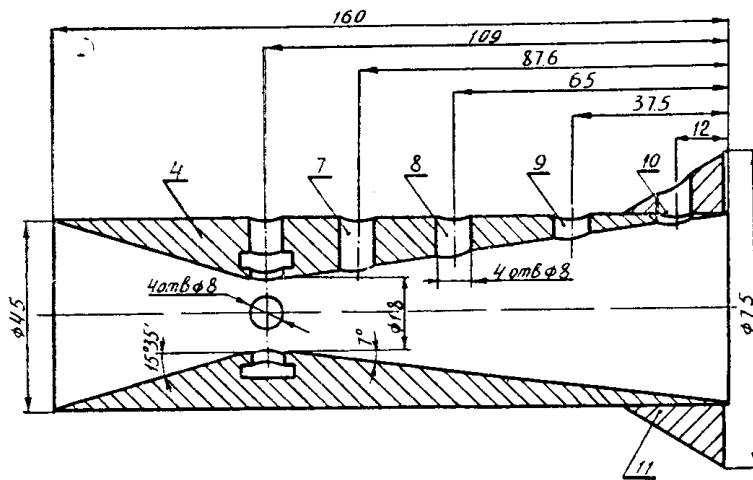


Рис. 1.

трубы; 2 — камера; 3 — диффузор аэродинамической трубы; 4 — стационарный напорный усилитель; 5 — трубка полного напора; 6 — заборная трубка импульса давления из горла усилителя; 7, 8, 9 и 10 — отверстия для отбора импульсов давления по длине диффузорной части напорного усилителя; 11 — регулировочное кольцо напорного усилителя; 12 — батарейный микроманометр; 13 — координатник; 14 — соединительные шланги. На схеме (рис. 2) показана установка напорного усилителя

конфузорной частью навстречу набегающему потоку. Такой режим работы напорного усилителя (обозначим его режимом I) является обычным и широко освещен в литературе [1, 2 и др.]. Как указывалось выше, возможны такие режимы, когда напорный усилитель оказывается развернутым навстречу набегающему потоку регулировочным кольцом 11. Этот режим работы усилителя обозначим цифрой II. В камере

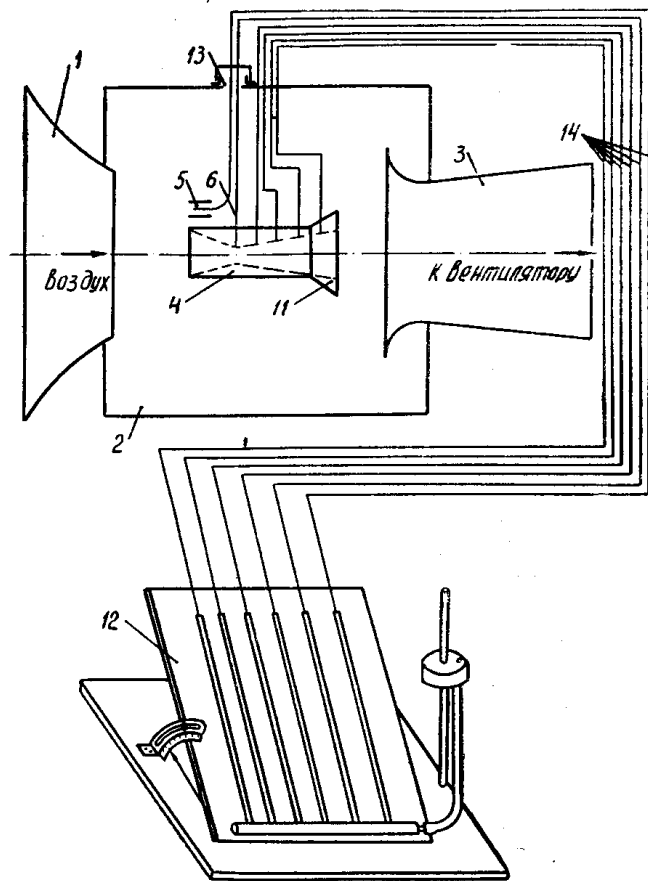


Рис. 2.

2 стенда напорный усилитель 4 и трубка полного напора 5 закрепляются с помощью специального координатника 13, которым усилитель и трубка полного напора могут одновременно поворачиваться на 180° , то есть можно создавать I и II режимы работы усилителя.

При проведении экспериментов в режимах I и II исследовалось изменение разности между давлением в трубке полного напора и давлением в горле напорного усилителя ΔP_{5-6} , разностей между давлениями, замеряемыми в отверстиях 7, 8, 9, 10, и давлением в горле напорного усилителя ΔP_{7-6} , ΔP_{8-6} , ΔP_{9-6} , ΔP_{10-6} . Опыты проводились при скоростях набегающего потока воздуха в пределах от 4,45 до 16,5 м/сек. Результаты замеров указанных разностей давлений в режимах работы усилителя I и II при скорости набегающего потока воздуха в 4,45 м/сек приведены в табл. 1. Из таблицы видно, что при режиме работы II напорного усилителя разности давлений ΔP_{7-6} , ΔP_{8-6} , ΔP_{9-6} , ΔP_{10-6} больше ΔP_{5-6} . Наибольшее значение имеет разность давлений ΔP_{10-6} , но конструктивно отбор в точке 16 (рис. 1) трудно выполнить, так как в этом случае невозможно использовать регулировочное

кольцо. С конструктивной точки зрения проще выполнить отбор давления в точке 9. При этом, как видно из табл. 1, ΔP_{9-6} мало отличается от ΔP_{10-6} . Для рассматриваемого случая коэффициент усиления K_1 в режиме I, определяемый отношением ΔP_{5-6} к $h_{дин}$, равен 4,27. Здесь $h_{дин}$ — действительный скоростной напор. Точка, соответствующая данному режиму, лежит на восходящей ветви кривой $K^1=f(Re)$ [2]. Для режима II отношение ΔP_{9-6} к $h_{дин}$ в дальнейшем будем считать коэффициентом усиления при режиме работы II. Обозначим его через

Таблица 1

Разность давлений, $мм$ вод. ст.	Режим работы усилителя:		Примечание
	1	2	
Δp_{5-6}	28,25	1,53	Значения $\Delta p_{7-6}, \Delta p_{8-6}, \Delta p_{9-6}$ и Δp_{10-6} определены по наклонной шкале. Для учета наклона шкалы приведенные значения необходимо умножить на 0,2.
Δp_{7-6}	1,00	3,50	
Δp_{8-6}	14,00	8,40	
Δp_{9-6}	16,00	10,00	
Δp_{10-6}	18,00	10,70	

K_{II} . В рассматриваемом случае $K_{II} = 1,52$, отношение же Δp_{5-6} к $h_{дин}$ меньше единицы. Изменение разностей давлений единицы Δp_{9-6} и Δp_{5-6} , а также коэффициентов усиления K_1 и K_{II} было найдено при нескольких скоростях набегающего потока воздуха. Результаты исследования представлены в табл. 2.

Анализируя данные табл. 1 и 2, можно сделать следующие выводы. По соотношению между значениями ΔP_{9-6} и ΔP_{5-6} можно судить о на-

Таблица 2

Разность давлений, $мм$ вод. ст.	Режим работы усилителя:		$h_{дин}$, $мм$ вод. ст.	W , $м/сек$	Коэффициент усиления	
	I	II			κ_1	κ_{II}
Δp_{5-6}	7,70	0,46	1,80	5,440	4,275	1,390
Δp_{9-6}	4,80	2,50	—	—	—	—
Δp_{5-6}	30,60	2,50	5,70	9,825	5,375	1,718
Δp_{9-6}	21,20	9,80	—	—	—	—
Δp_{5-6}	93,00	7,50	—	—	—	—
Δp_{9-6}	64,8	30,60	16,00	16,400	5,810	1,910

правлении движения потока рабочего тела в том канале, где установлен напорный усилитель. При этом напорный усилитель может быть установлен стационарно. В тех случаях, когда изменяется направление движения потока рабочего тела в канале и возникает режим II, стационарный напорный усилитель с отверстиями 5, 6 и 9 для отбора импульса дав-

лений в известной степени является также усилителем скоростного напора. Правда, в этом случае его коэффициент усиления K_{II} меньше, чем K_I в режиме работы I. Напорный усилитель в режиме работы II при наличии соответствующей тарировки может быть использован для нахождения $h_{дин}$ по известным ΔP_{9-6} и K_{II} . Кроме того, в режиме II было проведено сравнение ΔP_{9-6} с разностью между давлением, замеряемым дополнительно устанавливаемой трубкой полного напора (направленной навстречу потоку), и давлением в горле напорного усилителя. Исследования показали, что ΔP_{9-6} и указанная разность давлений практически не отличаются. Это означает, что отверстие 9 в диффузорной части стационарного напорного усилителя при режиме работы II играет роль трубы полного напора.

ЛИТЕРАТУРА

1. Б. В. Дядкин, З. И. Катасонова. Трубка Вентури для измерения малых расходов и скоростей в трубопроводах большого диаметра. «Теплоэнергетика», 1965, № 12.
 2. П. П. Кремлевский. Расходомеры. Машгиз, 1963.
-